

Академия наук СССР

Кристаллография

Том 4. 1959, Вып 2

H.J. Hall

Е. Г. Понятовский

О  $P-T$ -ДИАГРАММЕ ТАЛЛИЯ

Е. Г. ПОНЯТОВСКИЙ

### О Р—T-ДИАГРАММЕ ТАЛЛИЯ

Известно, что таллий при атмосферном давлении существует в виде двух модификаций.  $\alpha$ -Модификация, устойчивая до  $230^\circ$ , имеет гексагональную плотноупакованную структуру,  $\beta$ -модификация, устойчивая в интервале от  $230^\circ$  до температуры плавления, имеет объемно-центрированную кубическую структуру [1, 2].

Влияние давления до  $3000 \text{ кГ/см}^2$  на полиморфное превращение таллия впервые было исследовано Вернером в 1913 г. [3]. В этой работе массивный образец таллия помещали в бомбу, заполненную маслом. Превращение фиксировали по скачку давления при медленном нагреве и охлаждении бомбы.

Вернер показал, что температура  $\alpha$ — $\beta$ -превращения таллия понижается с повышением давления. Наклон кривой равновесия  $\alpha$  и  $\beta$ -модификаций к оси давления составляет  $0,0023 \text{ град/кГ}\cdot\text{см}^{-2}$ . Объемный эффект превращения увеличивается от  $0,0090 \text{ см}^3/\text{г-атом}$  при атмосферном давлении до  $0,0194 \text{ см}^3/\text{г-атом}$  при давлении  $3000 \text{ кГ/см}^2$ .

В 1935 г. Бриджмен исследовал Р—T-диаграмму таллия методом смещающегося штока [4]. Превращение фиксировали по скачку на кривых «ход поршня-давление». Варьировали температуру образца нагреванием всей установки  $\varnothing$ верхвысокого давления, что делало невозможным проведение исследований при температурах выше  $200^\circ$ . По полученным таким способом пятью точкам и известной температуре  $\alpha$ — $\beta$ -превращения при атмосферном давлении была построена диаграмма состояния таллия, приведенная на рис. 1. Согласно диаграмме, I—II ( $\beta$ — $\alpha$ )-превращение кончается в тройной точке, соответствующей температуре  $153^\circ$  и давлению  $39\,000 \text{ кГ/см}^2$ . При более высоких давлениях появляется новая модификация, обозначенная Бриджменом цифрой III. Коорди-

натах тройной точки получены экстраполированием кривых равновесия I—II и I—III до их пересечения. Наклон кривой II—III к оси давлений вычислен по экстраполированным величинам тепловых и объемных эффектов I—II и I—II-превращений в тройной точке. Попытки обнаружить превращение II—III по скачку объема окончились неудачей.

В дальнейшем Бриджмен неоднократно возвращался к исследованию влияния давления на объем и электрическое сопротивление таллия [5, 6]. Но все последующие работы проводились при комнатной температуре.

Нами проведено исследование  $P-T$ -диаграммы таллия с помощью методики термического анализа [7], позволяющей изучать фазовые превращения веществ при давлениях до  $30\ 000 \pm 35\ 000 \text{ кГ/см}^2$  и температурах до  $650^\circ \text{ С}$ . Исследование проводили на таллии 99,98, содержащем  $\sim 0,01 \text{ Pb}$ ,  $0,008 \text{ Cd}$  и следы Ag, Mg, Mn. Нагревали образец при помощи никромового нагревателя, введенного в канал мультиплексора сверхвысокого давления. Переходящей средой являлась смесь изопентана с нормальным пентаном. Температуру измеряли термопарой железо-никром с очисткой  $\pm 1^\circ\text{C}$ , давление — манганиновым манометром сопротивления с точностью  $\pm 100 \text{ кГ/см}^2$ .

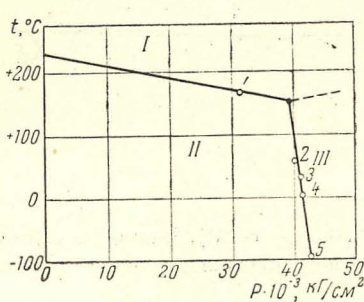


Рис. 1.  $P-T$ -диаграмма таллия по Бриджмену [4].

на пиromетре Курнакова. Затем по термограммам определяли температуры плавления, затвердевания и  $\alpha \rightarrow \beta$ ,  $\beta \rightarrow \alpha$ -превращений таллия. Параллельно с фотозаписью велили визуальное наблюдение за показаниями термопар. Это позволяло вводить необходимые поправки на изменение давления при нагреве изопентана в процессе опыта. Всего таким способом получено свыше 160 точек, по которым построена  $P-T$ -диаграмма таллия (рис. 2). Кривая плавления таллия совпадает с кривой, полученной нами ранее методом температурных остановок без применения дифференциальной термопары

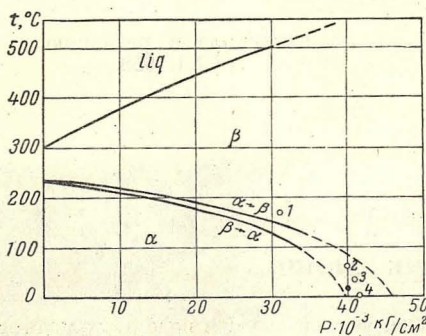


Рис. 2.  $P-T$ -диаграмма таллия.

○ — точки Бриджмена [4]; ● — точка Бриджмена [3].

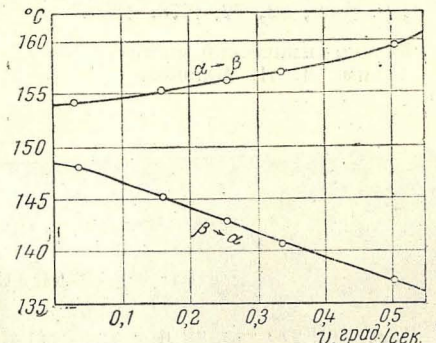


Рис. 3. Влияние скоростей нагрева и охлаждения на температуру  $\alpha \rightarrow \beta$ -превращения таллия при  $27800 \text{ кГ/см}^2$ .

[8]. Затвердевание таллия начиналось при переохлаждении в  $\sim 1^\circ\text{C}$ . Величина переохлаждения с увеличением давления существенно не изменялась. Наклон кривой плавления к оси давления при  $p = 1 \text{ кГ/см}^2$  равен  $7,1 \cdot 10^{-3} \text{ град/кГ·см}^2$ . Принимая тепловой эффект плавления таллия при атмосферном давлении равным  $1,004 \text{ ккал/г-атом}$  [9], получаем из уравнения Клапейрона следующее значение изменения объема при плавлении:  $0,0026 \text{ см}^3/\text{г}$ , или  $3,05\%$ . Полиморфное превращение таллия является весьма резким и протекает с гистерезисом, который увеличивается вдоль кривой превращения с  $2^\circ$  при  $1 \text{ кГ/см}^2$  до  $40^\circ$  при  $33\ 000 \text{ кГ/см}^2$ . Для выявления влияния скорости охлаждения и нагрева на величину гистерезиса образец таллия при давлении  $27\ 800 \text{ кГ/см}^2$  нагревали и охлаждали со скоростями  $0,03; 0,11; 0,25; 0,34$  и  $0,50 \text{ град/сек}$ .

Полученные данные представлены на рис. 3.

Как видно из рис. 3, величина гистерезиса  $\alpha \rightarrow \beta$ -превращения существенно зависит от скорости изменения температуры образца. С увеличением скорости охлаждения и нагрева от 0 до  $0,5 \text{ град/сек}$  гистерезис увеличивается от  $6$  до  $22^\circ$ , причем это измене-

ние величины гистерезиса происходит в большей мере за счет понижения температуры  $\beta \rightarrow \alpha$ -превращения.

На  $P-T$ -диаграмме таллия (рис. 2) нанесены также и точки, полученные Бриджменом. Участки кривых  $\alpha \rightarrow \beta$  и  $\beta \rightarrow \alpha$ -превращения, экстраполированные на давления, превышающие 33 000  $\text{kG}/\text{см}^2$ , находятся в хорошем согласии с точками 2, 3 и 4 Бриджмена. Точка 1 лежит гораздо выше наших кривых. Но эта точка является наименее достоверной, так как аппаратура Бриджмена при  $166^\circ$  и давлении 30 000  $\text{kG}/\text{см}^2$  работала на пределе и не могла обеспечить большой точности.

Таким образом, есть все основания считать, что при комнатной температуре и давлении 41 000—43 000  $\text{kG}/\text{см}^2$  таллий превращается из  $\alpha$ -модификации в высокотемпературную  $\beta$ -модификацию с объемно-центрированной кубической структурой, а третьей фазы, названной Бриджменом Tl III, в этом интервале давлений не существует. На основании полученной диаграммы и имеющихся в литературе данных можно оценить величины объемного эффекта  $\alpha \rightarrow \beta$ -превращения при атмосферном давлении и теплового эффекта этого превращения при  $\sim 42 000 \text{kG}/\text{см}^2$  и комнатной температуре. Теплота  $\alpha \rightarrow \beta$ -превращения при атмосферном давлении, измеренная Ольсеном и др. [9], равна  $-95 \text{ ккал}/\text{г-атом}$ . Принимая тангенс угла наклона кривой  $\alpha \rightarrow \beta$ -превращения при атмосферном давлении равным  $1,9 \cdot 10^{-3} \text{ град}/\text{kG} \cdot \text{см}^2$ , получаем для объемного эффекта полиморфного перехода величину  $0,015 \text{ см}^3/\text{г-атом}$ , или  $0,089\%$ . Для скачка объема в результате полиморфного превращения таллия при давлении  $\sim 42 000 \text{kG}/\text{см}^2$  и температуре  $20^\circ$  имеем величину  $0,7\%$  или  $0,12 \text{ см}^3/\text{г-атом}$ . Принимая тангенс угла наклона кривой равновесия  $\alpha$ - и  $\beta$ -модификаций при  $20^\circ$ , равным  $16,8 \cdot 10^{-3} \text{ град}/\text{kG} \cdot \text{см}^2$ , получаем для теплового эффекта  $\alpha \rightarrow \beta$  превращения величину  $-49 \text{ ккал}/\text{г-атом}$ . Интересен тот факт, что  $\beta$ -модификация таллия, имеющая объемно-центрированную структуру с меньшим коэффициентом заполнения пространства, обладает большим удельным весом, чем  $\alpha$ -модификация с плотнейшей упаковкой.

Считаю своим долгом выразить благодарность И. Жданову за участие в подготовке и проведении экспериментов.

### Литература

1. H. Lipson, A. R. Stokes. Structures of thalliums. *Nature*, **148**, 37, 1941.
2. K. D. Alexopoulos. Formation and identification of thallium single crystals. *Acta crystallogr.*, **8**, 235, 1955.
3. M. Werniger. Über die Eigenschaftsänderungen bei den polymorphen Umwandlungen des Tl. *Sn, Zn, Ni. Z. Anorg. Chem.*, **83**, 275, 1913.
4. P. W. Bridgman. Polymorphism principally of the elements up to 50 000 at. *Phys. Rev.*, **48**, 11, 893, 1935.
5. P. W. Bridgman. Compressions and polymorphic transitions. *Phys. Rev.*, **60**, 4, 351, 1941.
6. P. W. Bridgman. Effects of pressure on binary alloys. III. Five alloys of Tl, including Tl-Bi. *Proc. Amer. Acad. Arts and Sci.*, **84**, 1, 1, 1955.
7. В. П. Бутузов, С. С. Бокша, М. Г. Гоникберг. Полиморфные превращения фосфора при сверхвысоком давлении. *Докл. АН СССР*, **108**, 3, 1956.
8. В. П. Бутузов, Е. Г. Понятовский, Г. П. Шаховской. Температура плавления цинка, кадмия, таллия и сурьмы при давлениях до 30 000  $\text{kг}/\text{см}^2$ . *Докл. АН СССР*, **109**, 3, 519, 1956.
9. W. Oelsen, O. Oelsen, D. Thiel. Die präzisionen Messungen der Schmelzwärmen. *Z. Metallkunde*, **46**, 555, 1955.

Институт кристаллографии  
АН СССР

Поступила в редакцию  
4. IX. 1958